

Радиальные и изгибные колебания круглой трехслойной пластины, взаимодействующей с пульсирующим слоем вязкой жидкости

Быкова Т.В.^{*}, Могилевич Л.И.^{}, Попов В.С.^{***},**

Попова А.А.^{**}, Черненко А.В.^{*****}**

Саратовский государственный технический университет имени Гагарина Ю.А.,

СГТУ, ул. Политехническая, 77, Саратов, 410054, Россия

** e-mail: tbykova69@mail.ru*

*** e-mail: mogilevich@sgu.ru*

**** e-mail: vic_p@bk.ru*

***** e-mail: anay_p@bk.ru*

****** e-mail: 3chav@mail.ru*

Статья поступила 28.01.2020

Аннотация

Осуществлена постановка и решение задачи о вынужденных радиальных и изгибных гидроупругих колебаниях трехслойной круглой пластины с легким несжимаемым заполнителем под действием нормальных и касательных напряжений со стороны пульсирующего слоя вязкой несжимаемой жидкости. Исследована осесимметричная задача, в рамках которой пластина рассмотрена как нижняя стенка узкого канала, заполненного вязкой жидкостью. Движение жидкости в канале принято ползущим. Уравнения динамики трехслойной пластины получены на базе использования гипотезы ломаной нормали и принципа Даламбера. Разработанная математическая модель включает в себя: уравнения динамики тонкого слоя вязкой несжимаемой жидкости и уравнения динамики трехслойной пластины, жестко заземленной по контуру. В качестве граничных условий выбраны условия

совпадения скоростей жидкости и упругих перемещений пластины на границах контакта, условия свободного истечения жидкости на контуре, условия жесткого защемления пластины и условия ограниченности давления жидкости и прогиба пластины на оси симметрии. Найдено распределение гидродинамических параметров в слое жидкости как функции прогиба и получена разрешающая система уравнений для определения упругих перемещений пластины. Построены амплитудно-частотные характеристики для радиальных и продольных перемещений пластины на основной моде для режима установившихся гармонических колебаний. Проведено численное исследование амплитуд радиальных и изгибных колебаний на основной моде, которое показало взаимовлияния сил инерции и жесткости трехслойной пластины в радиальном и нормальном направлениях. Расчеты показали существенное влияние сил инерции в нормальном направлении на амплитудно-частотную характеристику радиальных перемещений пластины. С другой стороны, расчеты показали незначительное влияние сил инерции в радиальном направлении на амплитудно-частотную характеристику прогибов пластины.

Ключевые слова: гидроупругость, колебания, вязкая жидкость, трехслойная круглая пластина

Введение

Балки, пластинки и оболочки являются основными элементами в расчетных схемах реальных конструкций. Данные элементы часто встречаются в изделиях авиакосмической промышленности. С целью уменьшения массогабаритных

параметров, а также защиты от воздействия различных агрессивных факторов, в современной авиационной и космической технике применяют различные композитные конструкции, и в частности, трехслойные пластины. Исторический обзор развития моделей деформирования многослойных элементов конструкций на базе кинематических теорий изменения параметров в слоях по ломаной дан в [1]. Проблемы исследования статики и динамики трехслойных элементов конструкций рассмотрены в монографии [2]. В [3] решена задача об изгибе трехслойной балки в температурном поле находящейся под действием сосредоточенной силы и момента, и частично, под распределенной нагрузкой. В [4] изучена деформация упругопластической круглой трехслойной пластины в температурном поле под действием распределенной нагрузки на верхнем несущем слое. Вынужденные колебания трехслойной круглой пластины установленной на основании Винклера исследованы в [5]. В указанных работах для задания локальной распределенной нагрузки использовались функции Хевисайда, а кинематика трехслойной конструкции описывалась в рамках гипотезы ломаной нормали по [2]. Предлагаются и упрощенные подходы, например, в [6] для исследования напряжений в толстостенной двухслойной осесимметричной композитной конструкции сложной геометрической формы, используют одномерную модель составного стержня переменного сечения, приближенно учитывающую поперечные деформации.

Рассматривая взаимодействие упругих конструкций с разнородными телами можно выделить контактные задачи, например [7], и задачи гидроупругости. Исторически одна из первых задач гидроупругости была рассмотрена в [8], где на базе энергетического метода исследованы свободные колебания круглой пластины,

заземленной по контуру и контактирующей с одной стороны с неограниченным объемом идеальной жидкости. В [9] указанная проблема решена на базе связанной задачи гидроупругости, а в [10] дана оценка учета вязкости жидкости. В работах [11, 12] рассмотрены статические задачи гидроупругости по определению зоны контакта цилиндрических и плоскоовальных оболочек, расположенных между двумя абсолютно жесткими параллельными стенками, при их деформации под действием давления жидкости, находящейся внутри них. Гидроупругие колебания мембраны являющейся частью дна бассейна с идеальной жидкостью изучены в [13]. Колебания круглой пластины, погруженной в идеальную жидкость, находящуюся в жестком цилиндре, и имеющую свободную поверхность, исследованы в [14]. Проблемы устойчивости прямоугольных пластин, взаимодействующих с идеальной и вязкой жидкостью, изучены в [15,16]. В [17] рассмотрены гидроупругие колебания диска и круглой пластины, между которыми находится вязкая жидкость, вызванные вибрацией основания, на котором они установлены. Задача изгибных колебаний прямоугольных пластин, между которыми находится пульсирующий слой вязкой жидкости, с учетом упругой податливости основания канала, решена в [18], а колебания круглой пластины, установленной на основание Винклера, и взаимодействующей со слоем вязкой жидкости изучены в [19].

Однако, в указанных выше работах рассматриваются однородные упругие элементы, исследований проблем гидроупругости композитных материалов значительно меньше. Например, в [20-22] аналитически и численно исследованы свободные колебания и устойчивость многослойных композитных консольно закрепленных балок и пластин в воздухе и воде. Исследование вынужденных

колебаний трехслойной круглой пластины, взаимодействующей со слоем вязкой жидкости выполнено в [23, 24]. В [25-27] рассмотрены задачи гидроупругих колебаний трехслойных балок и пластин, образующих стенку узкого канала заполненного вязкой жидкостью с учетом влияния упругой податливости основания канала, вибрации противоположной стенки и пульсации давления в жидкости. В указанных работах использовались уравнения динамики трехслойных пластин в подходе, предложенном в [2], и исключались из рассмотрения касательные напряжения, действующие со стороны жидкости, а также силы инерции пластины в продольном направлении, наполнитель пластины считался несжимаемым. В работах [28, 29] разработаны математические модели в плоской постановке для исследования гидроупругих колебаний прямоугольных трехслойных пластин со сжимаемым наполнителем и с учетом сил инерции несущих слоев пластины в продольном направлении и касательных напряжений со стороны вязкой жидкости.

В предлагаемой работе рассмотрим задачу гидроупругости для изучения радиальных и изгибных колебаний круглой трехслойной пластины с несжимаемым наполнителем, взаимодействующей с пульсирующим слоем вязкой жидкости при учете нормальных и касательных напряжений, действующих на ее верхний несущий слой со стороны жидкости, а также сил инерции пластины в радиальном и нормальном направлении.

Постановка и решение задачи гидроупругих колебаний

Рассмотрим узкий канал, образованный трехслойной круглой пластиной и параллельным ей абсолютно твердым диском (см. рис.1). Полагаем, что стенки

канала жестко защемлены по контуру и, учитывая осевую симметрию канала, далее, рассмотрим осесимметричную задачу. Круглая пластина образована верхним и нижним несущими слоями толщиной h_1 , h_2 и заполнителем толщиной $2c$. Заполнитель считаем легким и несжимаемым. Расстояние между стенками канала в недеформированном состоянии h_0 . Канал заполнен вязкой несжимаемой жидкостью, по контуру жидкость свободно истекает в ту же жидкость с давлением, имеющим постоянный уровень p_0 и пульсирующую составляющую $p_1(\omega t)$. Введем в рассмотрение цилиндрическую систему координат, центр которой связан с центром срединной (координатной) плоскости заполнителя пластины.

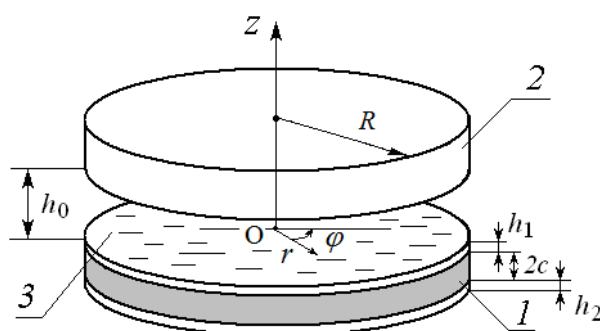


Рис.1.

1 – трехслойная круглая пластина, 2 – абсолютно жесткий диск,

3 – вязкая несжимаемая жидкость

Учитывая узость канала, движение жидкости в нем примем ползущим, и уравнения динамики тонкого слоя вязкой жидкости, для рассматриваемого случая, запишутся в виде [30]

$$\frac{1}{\rho} \frac{\partial p}{\partial r} = v \left(\frac{\partial^2 V_r}{\partial r^2} + \frac{1}{r} \frac{\partial V_r}{\partial r} + \frac{\partial^2 V_r}{\partial z^2} - \frac{V_r}{r^2} \right), \quad \frac{1}{\rho} \frac{\partial p}{\partial z} = v \left(\frac{\partial^2 V_z}{\partial r^2} + \frac{1}{r} \frac{\partial V_z}{\partial r} + \frac{\partial^2 V_z}{\partial z^2} \right), \quad (1)$$

$$\frac{\partial V_r}{\partial r} + \frac{1}{r}V_r + \frac{\partial V_z}{\partial z} = 0.$$

Здесь V_r , V_z – проекции вектора скорости жидкости на оси введенной в рассмотрение цилиндрической системы координат.

Граничные условия для уравнений динамики жидкости будут представлять собой условия прилипания жидкости к непроницаемым поверхностям ограничивающих ее стенок

$$V_r = 0, \quad V_z = 0 \quad \text{при} \quad z = h_0 + c + h_1, \quad (2)$$

$$V_r = \frac{\partial u}{\partial t}, \quad V_z = \frac{\partial w}{\partial t} \quad \text{при} \quad z = w + c + h_1.$$

Здесь u – радиальное упругое перемещения трехслойной круглой пластины; w – упругое перемещение трехслойной круглой пластины по нормали.

Граничные условия дополняются условиями для давления. Это условия совпадения давления жидкости на контуре с пульсирующим давлением в окружающей среде

$$p = p_0 + p_1(\omega t) \quad \text{при} \quad r = R, \quad (3)$$

а также условие ограниченности давления на оси симметрии:

$$r \frac{\partial p}{\partial r} = 0 \quad \text{при} \quad r = 0. \quad (4)$$

Уравнения динамики трехслойной пластины с несжимаемым легким заполнителем получим из уравнений ее равновесия, выведенных в [2] используя кинематическую гипотезу ломаной нормали, применяя принцип Даламбера и учитывая при этом силы инерции в радиальном и нормальном направлении. В результате имеем

$$\begin{aligned} \bar{L}_2 \left(a_1 u + a_2 \varphi - a_3 \frac{\partial w}{\partial r} \right) - M_0 \frac{\partial^2 u}{\partial t^2} = -q_{zr}, \quad \bar{L}_2 \left(a_2 u + a_4 \varphi - a_5 \frac{\partial w}{\partial r} \right) = 0, \\ \bar{L}_3 \left(a_3 u + a_5 \varphi - a_6 \frac{\partial w}{\partial r} \right) - M_0 \frac{\partial^2 w}{\partial t^2} = -q_{zz}. \end{aligned} \quad (5)$$

Здесь, q_{zr} , q_{zz} – касательное и нормальное напряжения жидкости, соответственно, действующие на поверхности пластины, $a_1 = h_1 K_1^+ + h_2 K_2^+ + 2c K_3^+$, $a_2 = c(h_1 K_1^+ - h_2 K_2^+)$,

$$a_3 = h_1 \left(c + \frac{1}{2} h_1 \right) K_1^+ - h_2 \left(c + \frac{1}{2} h_2 \right) K_2^+, \quad a_4 = c^2 \left(h_1 K_1^+ + h_2 K_2^+ + \frac{2}{3} c K_3^+ \right),$$

$$a_5 = c \left(h_1 \left(c + \frac{1}{2} h_1 \right) K_1^+ + h_2 \left(c + \frac{1}{2} h_2 \right) K_2^+ + \frac{2}{3} c^2 K_3^+ \right),$$

$$a_6 = h_1 \left(c^2 + c h_1 + \frac{1}{3} h_1^2 \right) K_1^+ + h_2 \left(c^2 + c h_2 + \frac{1}{3} h_2^2 \right) K_2^+ + \frac{2}{3} c^3 K_3^+, \quad K_k^+ = K_k + \frac{4}{3} G_k,$$

и приняты обозначения: $L_2(g) = \frac{\partial}{\partial r} \left[\frac{1}{r} \frac{\partial}{\partial r} (rg) \right]$, $L_3(g) = \frac{1}{r} \frac{\partial}{\partial r} [rL_2(g)]$, $M_0 = \rho_1 h_1 + \rho_2 h_2 + \rho_3 h_3$,

G_k , K_k – модули сдвиговой и объемной деформации, соответственно, ρ_k – плотность материала k -го слоя, $k = 1, 2, 3$ – номер слоя.

Выражения для напряжений q_{zr} , q_{zz} на поверхности пластины согласно [30, 31]

запишем как

$$q_{zr} = \rho v \left(\frac{\partial V_z}{\partial r} + \frac{\partial V_r}{\partial z} \right) \quad \text{при } z = w + c + h_1, \quad (6)$$

$$q_{zz} = -p + 2\rho v \frac{\partial V_z}{\partial z} \quad \text{при } z = w + c + h_1.$$

Краевые условия для уравнений динамики трехслойной круглой пластины (7)

представляют собой условия жесткого защемления, записываемые в виде

$$w = u = \varphi = \frac{\partial w}{\partial r} = 0 \quad \text{при } r = R. \quad (7)$$

Кроме того, запишем условие ограниченности прогиба пластины на оси симметрии

$$r \frac{\partial w}{\partial r} = 0 \text{ при } r = 0. \quad (8)$$

Введем в рассмотрение малые параметры $\psi = \frac{h_0}{R} \ll 1$ – относительную толщину

слоя жидкости, $\lambda = \frac{w_m}{h_0} \ll 1$ – относительную амплитуду прогиба пластины, и

безразмерные переменные

$$\zeta = \frac{z - c - h_1}{h_0}, \quad \xi = \frac{r}{R}, \quad \tau = \omega t, \quad V_z = w_m \omega U_\zeta, \quad V_r = \frac{w_m \omega R}{h_0} U_\xi, \quad w = w_m W, \quad u = u_m U, \quad \varphi = \varphi_m \Phi, \quad (9)$$

$$p = p_0 + p_1(\tau) + \frac{\rho v w_m \omega}{h_0 \psi^2} P.$$

Подставляя введенные в рассмотрение малые параметры и безразмерные переменные (9) в (1)-(8) в нулевом приближении по ψ и λ получим следующую динамическую задачу гидроупругости трехслойной круглой пластины с несжимаемым легким заполнителем, записанную в безразмерном виде и включающую в себя:

- уравнения динамики тонкого слоя вязкой несжимаемой жидкости

$$\frac{\partial P}{\partial \xi} = \frac{\partial^2 U_\xi}{\partial \zeta^2}, \quad \frac{\partial P}{\partial \zeta} = 0, \quad \frac{\partial U_\xi}{\partial \xi} + \frac{1}{\xi} U_\xi + \frac{\partial U_\zeta}{\partial \zeta} = 0, \quad (10)$$

- уравнения динамики трехслойной круглой пластины

$$L_2 \left(a_1 u_m U + a_2 \varphi_m \Phi - \frac{a_3 w_m}{R} \frac{\partial W}{\partial \xi} \right) - M_0 \omega^2 u_m \frac{\partial^2 U}{\partial \tau^2} = -q_{zr}, \quad L_2 \left(a_2 u_m U + a_4 \varphi_m \Phi - \frac{a_5 w_m}{R} \frac{\partial W}{\partial \xi} \right) = 0, \quad (11)$$

$$L_3 \left(a_3 u_m U + a_5 \varphi_m \Phi - \frac{a_6 w_m}{R} \frac{\partial W}{\partial \xi} \right) - M_0 \omega^2 w_m \frac{\partial^2 W}{\partial \tau^2} = -q_{zz},$$

$$\text{здесь } L_2(g) = \frac{\partial}{R^2 \partial \xi} \left[\frac{1}{\xi} \frac{\partial}{\partial \xi} (\xi g) \right], \quad L_3(g) = \frac{\partial}{\xi R \partial \xi} [\xi L_2(g)],$$

$$q_{zr} = \frac{\rho v w_m \omega}{h_0 \psi} \frac{\partial U_\xi}{\partial \zeta} \Big|_{\zeta=0}, \quad q_{zz} = -p_0 - p_1(\tau) - \frac{\rho v w_m \omega}{h_0 \psi^2} P.$$

Граничные условия на ограничивающих жидкостью стенках и условия для давления жидкости, а также условия для уравнений динамики пластины примут вид

$$U_\xi = 0, U_\zeta = 0 \text{ при } \zeta = 1, \quad U_\xi = 0, U_\zeta = \frac{\partial W}{\partial \tau} \text{ при } \zeta = 0, \quad (12)$$

$$P = 0 \text{ при } \xi = 1, \quad \xi \frac{\partial P}{\partial \xi} = 0 \text{ при } \xi = 0, \quad (13)$$

$$U = \Phi = W = \frac{\partial W}{\partial \xi} = 0 \text{ при } \xi = 1, \quad \xi \frac{\partial W}{\partial \xi} = 0 \text{ при } \xi = 0. \quad (14)$$

Решая уравнения динамики жидкости (10) с граничными условиями (12)-(13)

находим

$$U_\xi = \frac{\partial P}{\partial \xi} \frac{\zeta(\zeta-1)}{2}, \quad U_\zeta = \frac{1}{\xi} \frac{\partial}{\partial \xi} \left(\xi \frac{\partial P}{\partial \xi} \right) \left(\frac{3\zeta^2 - 2\zeta^3 - 1}{12} \right), \quad (15)$$

$$P = 12 \int_{\xi}^1 \left[\frac{1}{\xi} \int_0^{\xi} \xi \frac{\partial W}{\partial \tau} d\xi \right] d\xi, \quad \frac{\partial U_\xi}{\partial \zeta} \Big|_{\zeta=0} = \frac{6}{\xi} \int_0^{\xi} \xi \frac{\partial W}{\partial \tau} d\xi.$$

Упругие перемещения и поворот нормали заполнителя пластины определяются из решения уравнений (11), и с учетом краевым условий (14), могут быть представлены в виде рядов по собственным функциям задачи Штурма-Лиувилля:

$$w = w_m W_0 = w_m \sum_{k=1}^{\infty} (R_k^0 + R_k(\tau)) \left[\frac{J_0(\beta_k \xi)}{J_0(\beta_k)} - \frac{I_0(\beta_k \xi)}{I_0(\beta_k)} \right], \quad (16)$$

$$u = u_m U = -u_m \sum_{k=1}^{\infty} \beta_k (Q_k^0 + Q_k(\tau)) \left[\frac{J_1(\beta_k \xi)}{J_0(\beta_k)} + \frac{I_1(\beta_k \xi)}{I_0(\beta_k)} \right],$$

$$\varphi = \varphi_m \Phi = -\varphi_m \sum_{k=1}^{\infty} \beta_k (T_k^0 + T_k(\tau)) \left[\frac{J_1(\beta_k \xi)}{J_0(\beta_k)} + \frac{I_1(\beta_k \xi)}{I_0(\beta_k)} \right],$$

здесь J_0 – функция Бесселя нулевого порядка первого рода; I_0 – модифицированная функция Бесселя нулевого порядка; β_k – корень трансцендентного уравнения $I_1(\beta_k)/I_0(\beta_k) = -J_1(\beta_k)/J_0(\beta_k)$, ($k = 1, 2, \dots$) где $J_1(\beta_k)$, $I_1(\beta_k)$ – соответствующие функции Бесселя первого порядка [2]. Коэффициенты R_k^0 , Q_k^0 , T_k^0 в (16) соответствуют статическим перемещениям пластины при постоянном уровне давления p_0 , а гармонические функции времени R_k , Q_k , T_k – перемещениям пластины за счет пульсации давления.

Подставим (16) в выражение для давления (15) и получим

$$P_0 = 12 \sum_{k=1}^{\infty} \frac{1}{\beta_k^2} \left[\frac{J_0(\beta_k \xi)}{J_0(\beta_k)} + \frac{I_0(\beta_k \xi)}{I_0(\beta_k)} - 2 \right] \frac{\partial R_k}{\partial \tau}. \quad (17)$$

Перераскладывая (17) по собственным функциям запишем выражение для давления в следующем виде:

$$P_0 = 12 \sum_{k=1}^{\infty} \frac{1}{\beta_k^2} \left[\frac{J_0(\beta_k \xi)}{J_0(\beta_k)} + \frac{I_0(\beta_k \xi)}{I_0(\beta_k)} - 2 \right] \frac{\partial R_k}{\partial \tau} = 12 \sum_{k=1}^{\infty} \sum_{i=1}^{\infty} \frac{4}{(\beta_i^4 - \beta_k^4) \beta_k \beta_i} \left[\beta_k^3 \frac{J_1(\beta_i)}{J_0(\beta_i)} - \right. \quad (18)$$

$$\left. - \beta_i^3 \frac{J_1(\beta_k)}{J_0(\beta_k)} \right] \left[\frac{J_0(\beta_i \xi)}{J_0(\beta_i)} - \frac{I_0(\beta_i \xi)}{I_0(\beta_i)} \right] \frac{\partial R_k}{\partial \tau},$$

а q_{zr} , q_{zz} будут иметь вид

$$q_{zr} = \frac{\rho \nu \omega}{h_0 \psi^2} 6 w_m \sum_{k=1}^{\infty} \frac{1}{\beta_k} \frac{\partial R_k}{\partial \tau} \left(\sum_{p=1}^{k-1} d_{kp}^{11} + d_{kk}^{11} + \sum_{p=k+1}^{\infty} d_{kp}^{11} \right) \left[\frac{J_1(\beta_k \xi)}{J_0(\beta_k)} + \frac{I_1(\beta_k \xi)}{I_0(\beta_k)} \right],$$

$$q_{zz} = (-p_0 - p_1(\tau)) \sum_{k=1}^{\infty} \frac{2}{\beta_k} \frac{J_1(\beta_k)}{J_0(\beta_k)} \left[\frac{J_0(\beta_k \xi)}{J_0(\beta_k)} - \frac{I_0(\beta_k \xi)}{I_0(\beta_k)} \right] -$$

$$- \frac{\rho \nu w_m \omega}{h_0 \psi^2} 12 \sum_{k=1}^{\infty} \frac{\partial R_k}{\partial \tau} \left(\sum_{p=1}^{k-1} d_{kp}^{31} + d_{kk}^{33} + \sum_{p=k+1}^{\infty} d_{kp}^{31} \right) \left[\frac{J_0(\beta_i \xi)}{J_0(\beta_i)} - \frac{I_0(\beta_i \xi)}{I_0(\beta_i)} \right].$$

Здесь учтено, что при $\beta_k = \beta_i$ имеем

$$\sum_{i=1}^{\infty} \frac{4}{\beta_i^4 - \beta_k^4} [\beta_k^3 \frac{J_1(\beta_i)}{J_0(\beta_i)} - \beta_i^3 \frac{J_1(\beta_k)}{J_0(\beta_k)}] \rightarrow \sum_{k=1}^{\infty} [\frac{J_1^2(\beta_k)}{J_0^2(\beta_k)} - \frac{4}{\beta_k} \frac{J_1(\beta_k)}{J_0(\beta_k)}],$$

$$\sum_{i=1}^{\infty} \frac{4}{(\beta_i^4 - \beta_k^4)\beta_k\beta_i} [\beta_k^3 \frac{J_1(\beta_i)}{J_0(\beta_i)} - \beta_i^3 \frac{J_1(\beta_k)}{J_0(\beta_k)}] \rightarrow \sum_{k=1}^{\infty} \frac{1}{\beta_k^2} [\frac{J_1^2(\beta_k)}{J_0^2(\beta_k)} - \frac{4}{\beta_k} \frac{J_1(\beta_k)}{J_0(\beta_k)}],$$

и обозначено

$$d_{kp}^{11} = \frac{4}{\beta_p^4 - \beta_k^4} [\beta_k^3 \frac{J_1(\beta_p)}{J_0(\beta_p)} - \beta_p^3 \frac{J_1(\beta_k)}{J_0(\beta_k)}], \quad d_{kk}^{11} = [\frac{J_1^2(\beta_k)}{J_0^2(\beta_k)} - \frac{4}{\beta_k} \frac{J_1(\beta_k)}{J_0(\beta_k)}],$$

$$d_{kp}^{31} = \frac{4}{(\beta_p^4 - \beta_k^4)\beta_k\beta_p} [\beta_k^3 \frac{J_1(\beta_p)}{J_0(\beta_p)} - \beta_p^3 \frac{J_1(\beta_k)}{J_0(\beta_k)}], \quad d_{kk}^{31} = \frac{1}{\beta_k^2} [\frac{J_1^2(\beta_k)}{J_0^2(\beta_k)} - \frac{4}{\beta_k} \frac{J_1(\beta_k)}{J_0(\beta_k)}].$$

Подставляя (16), (18) в уравнения динамики трехслойной пластины (11) с разложением оставшихся членов уравнений в ряды по собственным функциям, получим

$$\begin{aligned} & \frac{1}{R^2} \sum_{k=1}^{\infty} (a_1 u_m(Q_k^0 + Q_k) + a_2 \varphi_m(T_k^0 + T_k) - \frac{a_3 w_m}{R} (R_k^0 + R_k)) \beta_k^3 \left(\sum_{p=1}^{k-1} d_{kp}^{11} + d_{kk}^{11} + \sum_{p=k+1}^{\infty} d_{kp}^{11} \right) \left[\frac{J_1(\beta_k \xi)}{J_0(\beta_k)} + \frac{I_1(\beta_k \xi)}{I_0(\beta_k)} \right] + \\ & + u_m M_0 \omega^2 \left(\sum_{k=1}^{\infty} \beta_k \frac{\partial^2 Q_k}{\partial \tau^2} \left[\frac{J_1(\beta_k \xi)}{J_0(\beta_k)} + \frac{I_1(\beta_k \xi)}{I_0(\beta_k)} \right] \right) = -q_{zr}, \end{aligned} \quad (19)$$

$$\frac{1}{R^2} \sum_{k=1}^{\infty} (a_2 u_m(Q_k^0 + Q_k) + a_4 \varphi_m(T_k^0 + T_k) - \frac{a_5 w_m}{R} (R_k^0 + R_k)) \beta_k^3 \left(\sum_{p=1}^{k-1} d_{kp}^{11} + d_{kk}^{11} + \sum_{p=k+1}^{\infty} d_{kp}^{11} \right) \left[\frac{J_1(\beta_k \xi)}{J_0(\beta_k)} + \frac{I_1(\beta_k \xi)}{I_0(\beta_k)} \right] = 0,$$

$$\frac{1}{R^3} \sum_{k=1}^{\infty} (a_3 u_m(Q_k^0 + Q_k) + a_5 \varphi_m(T_k^0 + T_k) - \frac{a_6 w_m}{R} (R_k^0 + R_k)) \beta_k^4 \left[\frac{J_0(\beta_k \xi)}{J_0(\beta_k)} - \frac{I_0(\beta_k \xi)}{I_0(\beta_k)} \right] -$$

$$- w_m M_0 \omega^2 \left(\sum_{k=1}^{\infty} \frac{\partial^2 R_k}{\partial \tau^2} \left[\frac{J_0(\beta_k \xi)}{J_0(\beta_k)} - \frac{I_0(\beta_k \xi)}{I_0(\beta_k)} \right] \right) = -q_{zz},$$

Таким образом, задаваясь количеством удерживаемых членов ряда и разрешая систему уравнений (19) можно найти искомые коэффициенты R_k^0 , Q_k^0 , T_k^0 и функции времени R_k , Q_k , T_k тем самым, определив упругие перемещения трехслойной

пластины.

В качестве примера, рассмотрим основную моду колебаний, т.е. ограничимся одним членом разложения. Тогда получим:

$$(a_1 u_m(Q_1^0 + Q_1) + a_2 \varphi_m(T_1^0 + T_1) - \frac{a_3 w_m}{R} (R_1^0 + R_1)) \beta_1^3 (d_{11}^{11}) \left[\frac{J_1(\beta_k \xi)}{J_0(\beta_k)} + \frac{I_1(\beta_k \xi)}{I_0(\beta_k)} \right] +$$

$$+ R^2 u_m M_0 \omega^2 \beta_1 \frac{\partial^2 Q_1}{\partial \tau^2} \left[\frac{J_1(\beta_1 \xi)}{J_0(\beta_1)} + \frac{I_1(\beta_1 \xi)}{I_0(\beta_1)} \right] = -R^2 \frac{\rho v \omega}{h_0 \psi} \omega w_m \frac{1}{\beta_1} \frac{\partial R_1}{\partial \tau} (d_{11}^{11}) \left[\frac{J_1(\beta_1 \xi)}{J_0(\beta_1)} + \frac{I_1(\beta_1 \xi)}{I_0(\beta_1)} \right]. \quad (20)$$

$$(a_2 u_m(Q_1^0 + Q_1) + a_4 \varphi_m(T_1^0 + T_1) - \frac{a_5 w_m}{R} (R_1^0 + R_1)) \beta_1^3 (d_{11}^{11}) \left[\frac{J_1(\beta_1 \xi)}{J_0(\beta_1)} + \frac{I_1(\beta_1 \xi)}{I_0(\beta_1)} \right] = 0,$$

$$(a_3 u_m(Q_1^0 + Q_1) + a_5 \varphi_m(T_1^0 + T_1) - \frac{a_6 w_m}{R} (R_1^0 + R_1)) \beta_1^4 \left[\frac{J_0(\beta_1 \xi)}{J_0(\beta_1)} - \frac{I_0(\beta_1 \xi)}{I_0(\beta_1)} \right] -$$

$$- R^3 w_m M_0 \omega^2 \frac{\partial^2 R_1}{\partial \tau^2} \left[\frac{J_0(\beta_1 \xi)}{J_0(\beta_1)} - \frac{I_0(\beta_1 \xi)}{I_0(\beta_1)} \right] =$$

$$= -R^3 (p_0 + p_1(\tau)) \frac{2}{\beta_1} \frac{J_1(\beta_1)}{J_0(\beta_1)} \left[\frac{J_0(\beta_1 \xi)}{J_0(\beta_1)} - \frac{I_0(\beta_1 \xi)}{I_0(\beta_1)} \right] - 12R^3 \frac{\rho v \omega}{h_0 \psi^2} w_m \frac{\partial R_1}{\partial \tau} (d_{11}^{31}) \left[\frac{J_0(\beta_1 \xi)}{J_0(\beta_1)} - \frac{I_0(\beta_1 \xi)}{I_0(\beta_1)} \right].$$

Используя второе уравнение (20) находим связь $T_1^0 = \frac{a_5 w_m R_1^0 - a_2 u_m Q_1^0 R}{\varphi_m a_4 R}$,

$T_1 = \frac{a_5 w_m R_1 - a_2 u_m Q_1 R}{a_4 \varphi_m R}$ и, рассматривая установившиеся гармонические колебания, т.е.

учитывая, что $\frac{\partial^2 Q_1}{\partial \tau^2} = -Q_1$, $\frac{\partial^2 R_1}{\partial \tau^2} = -R_1$, определяем Q_1^0 , Q_1 , R_1^0 , R_1 , что позволяет

записать искомые радиальное перемещение и прогиб трехслойной пластины при ее

колебаниях в виде

$$u = -\frac{p_0 R^3}{b_{21}^0} A_u(0, \xi) - \frac{p_m R^3}{b_{21}} A_u(\omega, \xi) \sin(\omega t + \phi_u(\omega)), \quad (21)$$

$$w = -\frac{p_0 R^3}{b_{21}^0} A_w(0, \xi) - \frac{p_m R^3}{b_{21}} A_w(\omega, \xi) \sin(\omega t + \phi_w(\omega)),$$

$$A_u(\omega, \xi) = \sqrt{\frac{b_{21}^2((b_{12})^2 + (K_{11}\omega)^2)}{(b_{11}b_{22} - b_{21}b_{12})^2 + (b_{11}K_{21}\omega - b_{21}K_{11}\omega)^2}} \frac{2 J_1(\beta_1)}{\beta_1^3 J_0(\beta_1)} \left[\frac{J_1(\beta_1 \xi)}{J_0(\beta_1)} + \frac{I_1(\beta_1 \xi)}{I_0(\beta_1)} \right],$$

$$A_w(\omega, \xi) = \sqrt{\frac{(b_{21}b_{11})^2}{(b_{11}b_{22} - b_{21}b_{12})^2 + (b_{11}K_{21}\omega - b_{21}K_{11}\omega)^2}} \frac{2 J_1(\beta_1)}{\beta_1^5 J_0(\beta_1)} \left[\frac{J_0(\beta_1 \xi)}{J_0(\beta_1)} - \frac{I_0(\beta_1 \xi)}{I_0(\beta_1)} \right],$$

$$\operatorname{tg}\phi_u(\omega) = \frac{K_{11}\omega(b_{11}b_{22} - b_{21}b_{12}) - b_{12}(b_{11}K_{21}\omega - b_{21}K_{11}\omega)}{b_{12}(b_{11}b_{22} - b_{21}b_{12}) + K_{11}\omega(b_{11}K_{21}\omega - b_{21}K_{11}\omega)}, \quad \operatorname{tg}\phi_w(\omega) = \frac{b_{21}K_{11}\omega - b_{11}K_{21}\omega}{b_{11}b_{22} - b_{21}b_{12}},$$

где введены следующие обозначения

$$b_{11} = (a_1 - a_2^2/a_4) - \frac{M_0\omega^2 R^2}{d_{11}^{11} \beta_1^2}, \quad b_{12} = (a_2 a_5 / (a_4 R) - a_3 / R), \quad K_{11} = 6 \frac{\rho v R^2}{h_0 \psi \beta_1^4},$$

$$b_{21} = (a_5 a_2 / a_4 - a_3), \quad b_{22} = (a_6 / R - a_5^2 / (a_4 R)) - M_0\omega^2 \frac{R^3}{\beta_1^4}, \quad K_{21} = \frac{\rho v}{h_0 \psi^2} 12 \frac{R^3}{\beta_1^4} d_{11}^{31}.$$

С целью иллюстрации полученных результатов выполним численное исследование поведения функций $A_u(\omega, \xi)$, $A_w(\omega, \xi)$ рассматривая канал со следующими параметрами: $R = 0,1$ м, $h_0/R = 0,08$, $h_1/R = 0,01$, $h_2/R = 0,015$, $\rho_0 = 10^3$ кг/м³, $\rho_1 = \rho_2 = 2,7 \cdot 10^3$ кг/м³, $\rho_3 = 10^3$ кг/м³, $K_1 = K_2 = 8 \cdot 10^3$ Па, $K_3 = 4,7 \cdot 10^9$ Па, $G_1 = G_2 = 2,67 \cdot 10^{10}$ Па, $G_3 = 9 \cdot 10^7$ Па, $\nu = 10^{-6}$ м²/с. При расчетах введем безразмерные амплитудные частотные характеристики продольного перемещения и прогиба сэндвич пластины как отношения функций $A_u(\omega, \xi)$, $A_w(\omega, \xi)$ к их значениям при статическом давлении, т.е. коэффициенты динамичности, $\alpha_u(\omega) = A_u(\omega, \xi) / A_u(0, \xi)$, $\alpha_w(\omega) = A_w(\omega, \xi) / A_w(0, \xi)$. Данные характеристики позволяют определить резонансные частоты основной моды радиальных и изгибных колебаний и оценить амплитуду колебаний на данных частотах. Результаты расчетов представлены на рис.2 и рис.3.

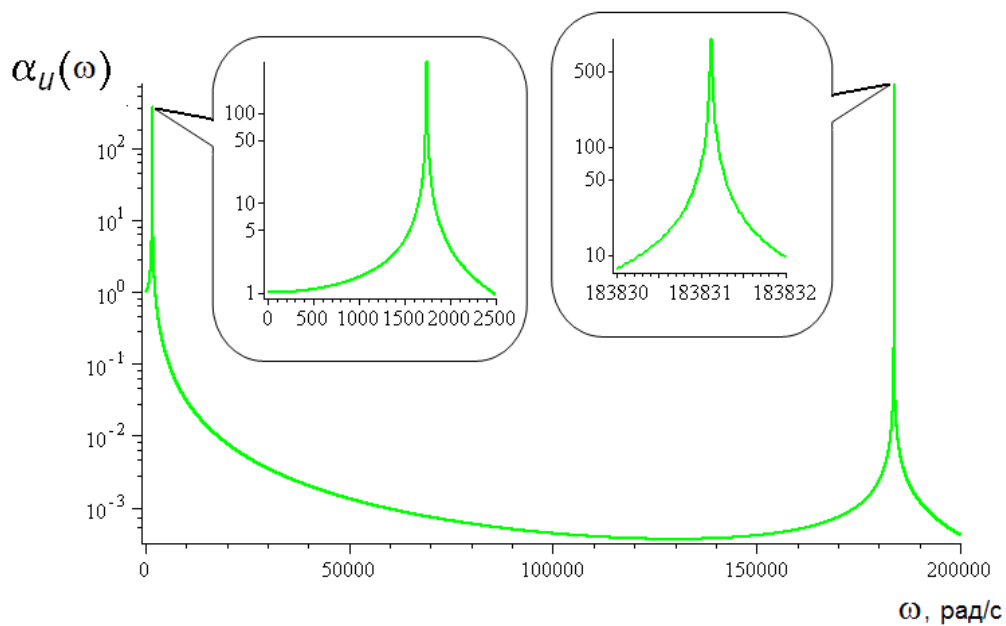


Рис. 2

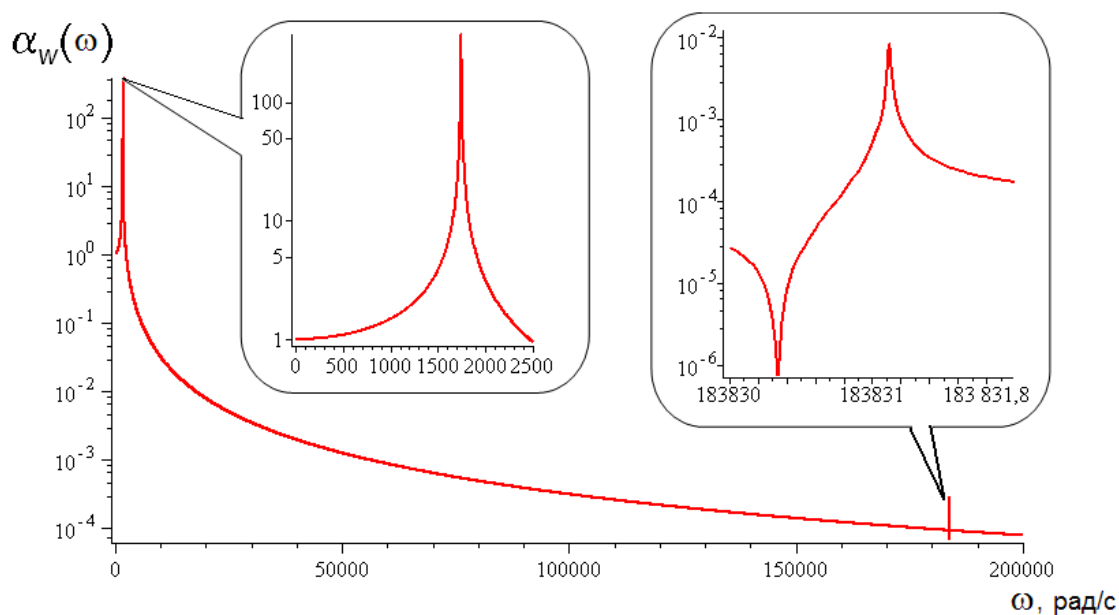


Рис. 3.

Заключение

Таким образом, в результате постановки и решения задачи гидроупругости найдено распределение гидродинамических параметров в слое жидкости как функции прогиба и получена разрешающая система уравнения для определения

упругих перемещений пластины. Проведенные расчеты показали, что на основной моде колебаний пластины наблюдаются две резонансные частоты, что можно объяснить перекрестным влиянием сил инерции и жесткости в радиальном и нормальном направлении. Расчеты показали, что первая резонансная частота, находящаяся в зоне низких частот, определяется силами инерции и жесткостью в нормальном направлении, а вторая – указанными параметрами в радиальном направлении. В работах [23-27] данного эффекта не обнаружено, так как в них не учитывались силы инерции в радиальном направлении. Кроме того, расчеты амплитуд изгибных колебаний (см. рис.3) позволили установить, что влияние сил инерции в радиальном направлении на изгибные колебания пластины незначительно, так как амплитуда колебаний на второй резонансной частоте мала по сравнению с первой. С другой стороны, аналогичные расчеты для радиальных колебаний (см. рис. 2) указывают на важность учета сил инерции, как в радиальном, так и нормальном направлении, так в данном случае амплитуды колебаний на резонансных частотах одного порядка. Таким образом, показано, что в отличие от задач гидроупругости однородных упругих элементов, где традиционно пренебрегают учетом сил инерции в радиальном направлении и ограничиваются только исследованием изгибных колебаний [31], для трехслойных пластин важен учет сил инерции в радиальном направлении, а также касательных напряжений в слое вязкой жидкости.

Работа выполнена при финансовой поддержке гранта РФФИ 18-01-00127-а

Библиографический список

1. Carrera E. Historical review of zig-zag theories for multilayered plates and shells // Applied Mechanics Reviews, 2003, vol. 56, no. 3, pp. 287 - 308. DOI: 10.1115/1.1557614.
2. Горшков А.Г., Старовойтов Э.И., Яровая А.В. Механика слоистых вязкоупругопластических элементов конструкций. – М.: Физматлит, 2005. - 576 с.
3. Старовойтов Э.И., Леоненко Д.В. Bending of a sandwich beam by local loads in the temperature field // Известия Саратовского университета. Новая серия. Серия: Математика. Механика. Информатика. 2018. Т. 18. № 1. С. 69 - 83.
4. Starovoitov E.I., Leonenko D.V. Deformation of an elastoplastic circular three-layer plate in a temperature field // Mechanics of Composite Materials, 2019, vol. 55, no. 4. pp. 503 - 512.
5. Старовойтов Э.И., Леоненко Д.В. Колебания круговых трехслойных пластин на упругом основании под действием параболических нагрузок // Труды МАИ. 2014. № 78. URL: <http://trudymai.ru/published.php?ID=53490>
6. Бабайцев А.В., Бурцев А.Ю., Рабинский Л.Н., Соляев Ю.О. Методика приближенной оценки напряжений в толстостенной осесимметричной композитной конструкции // Труды МАИ. 2019. № 107. URL: <http://trudymai.ru/published.php?ID=107879>
7. Митин А.Ю., Тарлаковский Д.В., Федотенков Г.В. Нестационарный контакт цилиндрической оболочки и абсолютно твердого эллиптического параболоида // Труды МАИ. 2019. № 107. URL: <http://trudymai.ru/published.php?ID=107884>
8. Lamb H. On the vibrations of an elastic plate in contact with water // Proceedings of the Royal Society, 1921, vol. 98, pp. 205 - 216. DOI: 10.1098/rspa.1920.0064.

9. Amabili M., Kwak M.K. Free vibrations of circular plates coupled with liquids: revising the Lamb problem // *Journal of Fluids and Structures*, 1996, vol. 10(7), pp. 743 - 761. DOI: 10.1006/jfls.1996.0051.
10. Kozlovsky Y. Vibration of plates in contact with viscous fluid: Extension of Lamb's model // *Journal of Sound and Vibration*, 2009, vol. 326, pp. 332 - 339. DOI: 10.1016/j.jsv.2009.04.031.
11. Добрянский В.Н., Рабинский Л.Н., Радченко В.П., Соляев Ю.О. Оценка ширины зоны контакта между плоскоовальными каналами охлаждения и корпусом приёмо-передающего модуля активной фазированной антенной решётки // *Труды МАИ*. 2018. № 101. URL: <http://trudymai.ru/published.php?ID=98252>
12. Lomakin E.V., Rabinsky L.N., Radchenko V.P., Solyaev Yu.O., Zhavoronok S.I., Babaitsev A.V. Analytical estimates of the contact zone area for a pressurized flat-oval cylindrical shell placed between two parallel rigid plates // *Meccanica*, 2018, vol. 53, no. 15, pp. 3831 - 3838.
13. Алексеев В.В., Индейцев Д.А., Мочалова Ю.А. Резонансные колебания упругой мембраны на дне бассейна с тяжелой жидкостью // *Журнал технической физики*. 1999. Т. 69. № 8. С. 37 - 42.
14. Askari E., Jeong K-H., Amabili M. Hydroelastic vibration of circular plates immersed in a liquid-filled container with free surface // *Journal of Sound and Vibration*, 2013, vol. 332, no. 12, pp. 3064 - 3085. DOI:10.1016/j.jsv.2013.01.007
15. Bochkarev S.A., Lekomtsev S.V., Matveenko V.P. Hydroelastic stability of a rectangular plate interacting with a layer of ideal flowing fluid // *Fluid Dynamics*, 2016, vol. 51, no. 6, pp. 821 - 833. DOI:10.1134/S0015462816060132

16. Velmisov P.A., Ankilov A.V. Dynamic stability of plate interacting with viscous fluid // Cybernetics and Physics, 2017, vol. 6, no. 4, pp. 262 - 270.
17. Могилевич Л.И., Попов В.С. Исследование взаимодействия слоя вязкой несжимаемой жидкости со стенками канала, образованного соосными вибрирующими дисками // Известия РАН. Механика жидкости и газа. 2011. № 3. С. 42 - 55.
18. Mogilevich L.I., Popov V.S., Popova A.A. Interaction dynamics of pulsating viscous liquid with the walls of the conduit on an elastic foundation // Journal of Machinery Manufacture and Reliability, 2017, vol. 46, no. 1, pp. 12 - 19. DOI: 10.3103/S1052618817010113
19. Kondratov D.V., Mogilevich L.I., Popov V.S., Popova A.A. Hydroelastic oscillations of a circular plate, resting on Winkler foundation // Journal of Physics: Conf. Series, 2018, vol. 944, 012057. DOI: 10.1088/1742-6596/944/1/012057.
20. Kramer M.R., Liu Z., Young Y.L. Free vibration of cantilevered composite plates in air and in water // Composite Structures, 2013, vol. 95, pp. 254 - 263. DOI: 10.1016/j.compstruct.2012.07.017
21. Аксabaya D.T., Young Y.L. Steady and dynamic hydroelastic behavior of composite lifting surfaces // Composite Structures, 2019, vol. 227, 111240. DOI: 10.1016/j.compstruct.2019.111240
22. Liao Y., Garg N., Martins Joaquim R. R. A., Young Y.L. Viscous Fluid Structure Interaction Response of Composite Hydrofoils // Composite Structures, 2019, vol. 212, pp. 571 - 585. DOI: 10.1016/j.compstruct.2019.01.043.
23. Могилевич Л.И., Попов В.С., Старовойтов Э.И. Гидроупругость вибропоры с

трехслойной круглой упругой пластиной с несжимаемым заполнителем // Наука и техника транспорта. 2006. № 2. С. 56 - 63.

24. Ageev R.V., Mogilevich L.I., Popov V.S. Vibrations of the walls of a slot channel with a viscous fluid formed by three-layer and solid disks // Journal of Machinery Manufacture and Reliability, 2014, vol. 43, no. 1, pp. 1 - 8. DOI: 10.3103/S1052618814010026

25. Popov V.S., Mogilevich L.I., Grushenkova E.D. Hydroelastic response of three-layered plate interacting with pulsating viscous liquid layer // Lecture Notes in Mechanical Engineering, 2019, pp. 459 - 467. DOI: 10.1007/978-3-319-95630-5_49.

26. Chernenko A., Kondratov D., Mogilevich L., Popov V., Popova E. Mathematical modeling of hydroelastic interaction between stamp and three-layered beam resting on Winkler foundation // Studies in Systems, Decision and Control, 2019, vol. 199, pp. 671 - 681. DOI: 10.1007/978-3-030-12072-6_54.

27. Kondratov, D.V., Popov V.S., Popova, A.A. Hydroelastic Oscillations of Three-Layered Channel Wall Resting on Elastic Foundation // Lecture Notes in Mechanical Engineering, 2020, pp. 903 - 911. DOI: 10.1007/978-3-030-22041-9_96

28. Грушенкова Е.Д., Могилевич Л.И., Попов В.С., Попова А.А. Продольные и изгибные колебания трехслойной пластины со сжимаемым заполнителем, контактирующей со слоем вязкой жидкости // Труды МАИ. 2019. № 106. URL: <http://trudymai.ru/published.php?ID=105618>

29. Grushenkova E.D., Mogilevich L.I., Popov V.S., Khristoforova A.V. Mathematical model of oscillations of a three-layered channel wall possessing a compressible core and interacting with a pulsating viscous liquid layer // Вестник Московского государственного технического университета им. Н.Э. Баумана. Серия

30. Лойцянский Л.Г. Механика жидкости и газа. - М.: Дрофа, 2003. - 840 с.

31. Вольмир А.С. Оболочки в потоке жидкости и газа. Задачи аэроупругости. - М.:

Физматлит, 1976. - 416 с.